

ЛИТЕРАТУРА

[1] Генераторы и усилители на релятивистских электронных потоках//Под ред. В. М. Лопухина. М., 1987. [2] Бугаев С. П., Канавец В. И., Климов А. И. и др.//Радиотехн. и электроника. 1987. 32, № 7. С. 1488. [3] Гаруца Н. А., Канавец В. И., Слешков А. И.//Там же. 1988. 33, № 4. С. 783. [4] Канавец В. И., Нифанов А. С., Слешков А. И.//Вестн. Моск. ун-та. Физ. Астрон. 1990. 31, № 5. С. 34. [5] Пирс Дж. Лампа с бегущей волной. М., 1952. [6] Григоренко Л. П., Канавец В. И., Корешков Е. Н. и др.//Электронная техника. Электроника СВЧ. 1978. № 9. С. 27.

Поступила в редакцию
04.05.90

ВЕСТН. МОСК. УН-ТА. СЕР. 3, ФИЗИКА. АСТРОНОМИЯ. 1990. Т. 31, № 6

УДК 621.373.532.517

МОДЕЛИРОВАНИЕ ПРОЦЕССОВ ХАОТИЧЕСКОЙ АВТОМОДУЛЯЦИИ ИЗЛУЧЕНИЯ В АВТОНОМНОМ ИНЖЕКЦИОННОМ ЛАЗЕРЕ

Д. А. Грибков, Ю. И. Кузнецов

(кафедра физики колебаний)

Предложена одномодовая сосредоточенная динамическая модель автономного инжекционного лазера, учитывающая эффект диффузии носителей и позволяющая описывать хаотическую автомодуляцию излучения. Приведены данные численного эксперимента.

Исследование хаотической автомодуляции (АМ) излучения в инжекционных лазерах (ИЛ) проводилось в ряде теоретических и экспериментальных работ (см., напр., [1, 2]). Однако математические модели, описывающие хаотическую АМ излучения ИЛ, включали в себя либо внешнюю периодическую модуляцию потерь резонатора [1], либо рассматривали систему связанных излучателей [2].

Предложенная ниже модель позволяет описывать хаотическую АМ излучения в одиночном автономном ИЛ. Эта модель основывается на более общей распределенной модели ИЛ [3, 4], в которой в свою очередь учитываются неоднородность выжигания и диффузия носителей в область выжигания. Сложность многопараметрической распределенной модели [3], требование большого машинного времени даже для малых временных интервалов (~ 1 нс) генерации ИЛ не позволяют исследовать хаотическую АМ. Поэтому была сделана попытка перейти от распределенной модели к сосредоточенной, но учитывающей эффект диффузии носителей в обедненную область после выжигания.

Для одной лазерной моды скоростные уравнения с учетом диффузии можно записать в виде

$$\frac{dX}{dt} = R(Y-1)X - \Theta X + \beta Y,$$

$$\frac{\partial Y^*}{\partial t} = I^* - Y^* + D\tau_s \frac{\partial^2 Y^*}{\partial y^2} - R(Y^* - 1)X, \quad (1)$$

$$Y = \frac{1}{|\Delta y|} \int_{-\Delta y/2}^{\Delta y/2} Y^*(y, t) dy,$$

где X , Y — средние нормированные концентрации фотонов и носителей соответственно; $Y^* = Y^*(y, t)$ — нормированный профиль распределения концентрации носителей в активном слое τ_s — время спонтанной рекомбинации носителей; $t = t'/\tau_s$ — безразмерное время; τ_p — время жизни фотонов; $\Theta = \tau_s/\tau_p$; $R = aN_0\tau_s$; a — коэффициент, учитывающий оптическое ограничение; N_0 — пороговая концентрация носителей; $I^* = J(y)\tau_s/(edN_0)$ — нормированный ток накачки; $D = L^2/\tau_s$ — коэффициент диффузии; (L — длина диффузии); β — фактор, учитывающий вклад спонтанного излучения.

Будем считать, что профиль $Y^*(y, t)$ в активном слое до выжигания — гауссов. После выжигания профиль Y^* деформируется. На нем появляется гладкий минимум в точке $y=0$. Аппроксимируем Y^* в окрестности точки $y=0$ квадратичной зависимостью:

$$Y^*(y, t) = Y^*(0, t) + b(t)y^2, \quad (2)$$

где до выжигания $b(t) < 0$, после выжигания $b(t) > 0$. Подставляя (2) в (1) и проводя усреднение по некоторой области Δy вблизи точки $y=0$ ($\Delta y \ll L$), получим

$$\frac{dY}{dt} = I - Y - R(Y-1)X + 2L^2b(t). \quad (3)$$

До выжигания для кривизны профиля в первом приближении можно считать

$$b(t) \sim -Y(t). \quad (4)$$

После выжигания кривизна $b(t)$ профиля, сформировавшегося к моменту времени t , определяется интенсивностью выжигания, которое имело место во время $(t-\tau)$, где τ — характерное время выжигания, сравнимое с длительностью импульса АМ. Таким образом, в первом приближении будем иметь

$$b(t) = k_1 R [Y(t-\tau) - 1] X(t-\tau), \quad (5)$$

где k_1 — коэффициент пропорциональности, величина которого определяется инерционностью процесса диффузии и размером канала генерации. Подставляя (4) и (5) в уравнение (3) и учитывая (1), получим

$$\frac{dX}{dt} = R(Y-1)X - \Theta X + \beta Y, \quad (6)$$

$$\frac{dY}{dt} = I - \gamma Y - R(Y-1)X + kR(Y_\tau - 1)X_\tau,$$

где

$$k = 2L^2k_1, \quad (k < 1), \quad Y_\tau = Y(t-\tau), \quad X_\tau = X(t-\tau), \quad I = \frac{1}{\Delta y} \int_{-\Delta y/2}^{\Delta y/2} I^* dy, \quad \gamma = k + 1.$$

Уравнения (6) имеют единственное ненулевое стационарное решение:

$$Y_0 = \frac{\Theta}{R} + 1, \quad X_0 = \frac{3}{4} (IR - \gamma(\Theta + R)) / \Theta(1-k). \quad (7)$$

Проводя линеаризацию уравнений (6) в окрестности стационарного решения (7), получим следующее характеристическое уравнение:

$$p^2 + (\gamma + RX_0)p + \omega_{01}^2 = kRX_0(p + \Theta) \exp\{-p\tau\}. \quad (8)$$

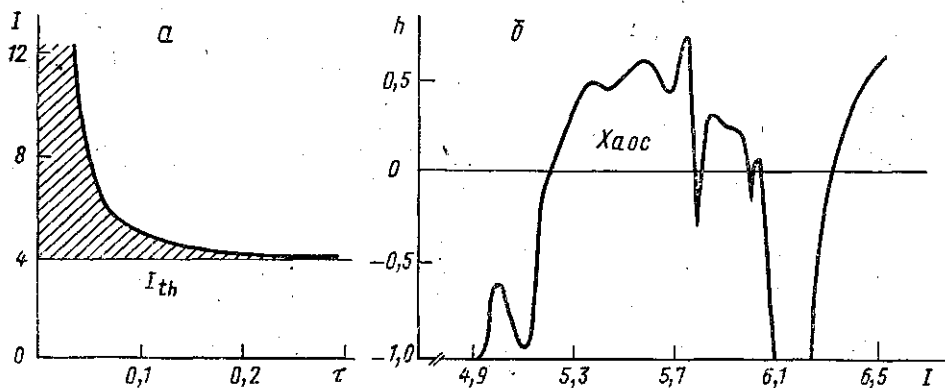


Рис. 1

Используя метод D -разбиений [5], построим область устойчивости решения (7) в пространстве параметров (τ, I) — заштрихована на рис. 1, а. При $\tau=0,1$ (10^{-10} с) с увеличением тока накачки от $I_{th} \approx 4,03$ до $I_{lim} \approx 4,80$ стационарная генерация ИЛ устойчива. При $I > I_{lim}$ решение (7) теряет устойчивость и возникает АМ. При уменьшении τ область стационарной генерации неограниченно возрастает.

Для исследования системы (6) на ЭВМ численные значения параметров были выбраны следующими: $N_0 \approx 10^{23}$ м $^{-3}$; $J_{th} \approx 5 \cdot 10^6$ А/м 2 ; $\beta \approx 10^{-3}$; $\tau_s \approx 2$ нс; $\tau_p \approx 1,3$ пс; $\Gamma = 0,5$; $d = 0,2$ мкм; $L \approx 3$ мкм. Соответственно $R = 800$; $\Theta = 1500$; $k \approx 0,4$; $\tau \approx 0,1$.

Перейдем к рассмотрению результатов численного эксперимента. На рис. 1, б представлена зависимость энтропии Колмогорова h [6] от тока накачки I . С увеличением I от $I_{th} \approx 4,10$ до $I_{lim} \approx 4,65$ (аналитически $I_{lim} \approx 4,80$) ИЛ находится в режиме стационарной генерации переходного процесса длительностью порядка 10—20 нс (рис. 2, а, $I \approx 4,20$). В фазовом пространстве системы (6) существует только устойчивый фокус. При $I > I_{lim}$ происходит бифуркация рождения устойчивого предельного цикла, что соответствует регулярно пиковому режиму с частотой порядка 3 ГГц (рис. 2, б, $I = 4,68$). С увеличением I возникает регулярная АМ пикового режима с периодом от десятых долей до десяти наносекунд и выше. При дальнейшем увеличении тока накачки АМ пикового режима усложняется и при $I_{cr} \approx 5,26$ ($I_{cr} \approx 1,31 I_{th}$) система переходит к хаосу ($h > 0$) — рис. 2, в, $I = 5,40$. В фазовом про-

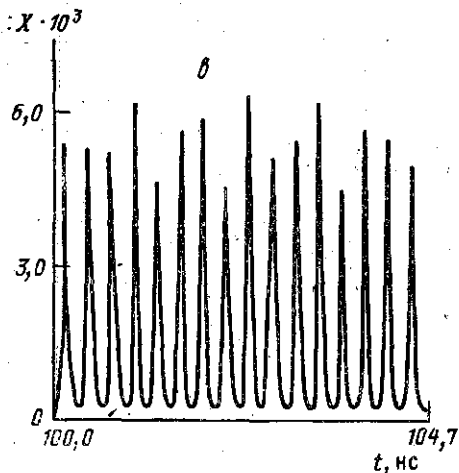
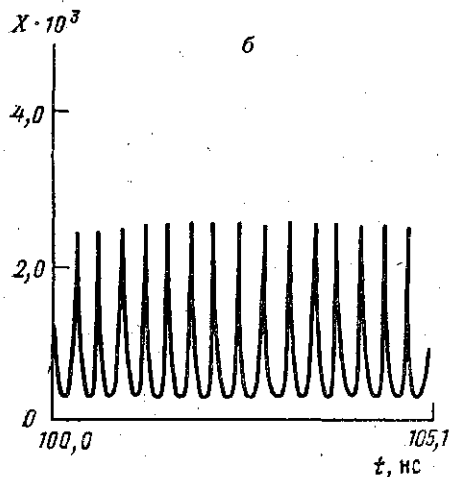
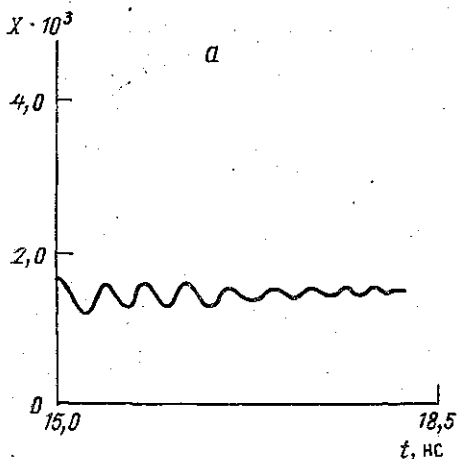


Рис. 2

странстве системы образуется странный аттрактор. Из анализа точечных отображений, построенных методом сечения Пуанкаре для различных I и h , следует, что переход к хаосу осуществляется через перемежаемость [7]. Наблюдается перемежаемость следующих основных видов: 1) чередование цугов модулированных колебаний с разной частотой АМ, но со сравнимыми амплитудами; 2) чередование цугов модулированных колебаний и турбулентных всплесков большой амплитуды; 3) смешанный механизм, включающий в себя (1) и (2).

Физическое объяснение возникновению АМ, в том числе хаотической, сводится к следующему. С ростом тока накачки растет усиление, увеличивается интенсивность выжигания носителей, растет кривизна $b(t)$ профиля концентрации носителей в области выжигания, что в свою очередь определяет большую интенсивность диффузи-

онного процесса заполнения носителями обедненной области. В данном случае диффузия играет роль дополнительного вклада энергии в систему, увеличивающего степень ее неравновесности. Кроме того, должны выполняться определенные фазовые соотношения, на которые влияют величина времени запаздывания τ и величина тока накачки I . Эти соотношения определяют возможность самовозбуждения системы.

ЛИТЕРАТУРА

- [1] Самсон А. М., Туровед С. И. Неустойчивости в лазерах с периодической модуляцией параметров: Препринт Института физики АН БССР. № 438. 1986.
 [2] Wang S. S., Winful H. G. // Appl. Phys. Lett. 1988. 52, N 21. 23 May. P. 1774.
 [3] Vuus J. // IEEE J. of Quant. Electron. 1983. QE-19, N 6. P. 953. [4] Логгинов А. С., Ржанов А. Г. // ДАН СССР. 1989. 309, № 6. С. 1354. [5] Неймарк Ю. И. Динамические системы и управляемые процессы. М., 1978. [6] Лихтенберг А., Либерман М. Регулярная и стохастическая динамика. М., 1984. [7] Анищенко В. С. Сложные колебания в простых системах. М., 1990.

Поступила в редакцию
15.06.90

ВЕСТН. МОСК. УН-ТА. СЕР. 3, ФИЗИКА. АСТРОНОМИЯ. 1990. Т. 31. № 6

ОПТИКА И СПЕКТРОСКОПИЯ

УДК 517.9

КЛАСТЕРНАЯ МОДЕЛЬ ВЗАИМОДЕЙСТВИЯ ИЗЛУЧЕНИЯ С НЕЛИНЕЙНЫМИ ГИРОТРОПНЫМИ КРИСТАЛЛАМИ

А. А. Голубков, В. А. Макаров

(кафедра общей физики и волновых процессов)

Предложена кластерная модель взаимодействия излучения с нелинейными гиротропными кристаллами, позволяющая в классическом приближении описывать эффекты пространственной дисперсии.

При описании оптических эффектов в классическом приближении кристалл часто представляют совокупностью неподвижных ядер и движущихся независимо друг от друга электронов. Такой подход, однако, не позволяет рассмотреть эффекты пространственной дисперсии [1]. Для их описания необходимо по крайней мере учесть взаимное влияние движения электронов, удаленных на расстояние порядка d . Последнее характеризует масштаб нелокальности отклика среды (период кристаллической решетки, размер неоднородности, радиус молекулярного действия). В настоящей работе это делается приближенно, на основе предлагаемой «кластерной» модели. Согласно последней электроны разделяются на одинаковые, состоящие из N частиц, образования (кластеры) с характерным размером d . Движение электронов в каждом из них считается независимым от движения частиц остальных кластеров. Получены уравнения, описывающие взаимодействие эллиптически поляризованного излучения с модельной средой произвольной симметрии. При малых интенсивностях падающего света их приближенное аналитическое решение приводит к материальным уравнениям традиционного вида. Для ряда кристаллографических классов предсказаны сложные динамические режимы изменения поляризации среды при распространении в ней мощного лазерного излучения.

Оптический отклик среды на внешнее воздействие будем характеризовать плотностью тока поляризации \mathbf{j} , которую в первом приближении по d/λ (λ — длина волны) можно представить в виде [1]

$$\mathbf{j} = N_0 \dot{\mathbf{p}} - \nabla (N_0 \hat{Q}) / 2 + c \operatorname{rot} (N_0 \mathbf{M}), \quad (1)$$

где точка обозначает дифференцирование по времени, $N_0 = d^{-3}$. В (1) \hat{Q} , \mathbf{p} и \mathbf{M} — соответственно квадрупольный электрический, дипольные электрический и магнитный моменты кластера, причем $\mathbf{p} = \kappa m_0 \dot{\mathbf{w}}$, $\hat{Q} = \kappa m_0 \hat{q}$, $\mathbf{M} = \kappa m_0 L / 2c$. Здесь $\kappa = q_i / m_i$ — отно-